Shipthialias ghanip, ubrhm

XXX, № 6, 1977

Серия технических паук

ГИДРАВЛИКА

С. А. АНАНЯН

О НЕКОТОРЫХ РЕЗУЛЬТАТАХ РЕШЕНИЯ ПРОСТРАНСТВЕННОЙ ЗАЛАЧИ МАССОПЕРЕНОСА

Для оценки процесса загрязнения подземных вод различными поверхностными источниками и, в частности, для определения изменения иннерализации грунтовых вод при промывках засоленных земель необходимо исследовать пространственную картину передвижения солей в пористой фильтрирующей среде.

Не снижая общности исследования, ниже рассмотрим одну характерную задачу массопереноса в двухслойной фильтрирующей среде из фоне вертикального дренажа.

На рис. І представлен схематический геологический разрез исследуемой задачи. Промывка верхней толщи засоленной почвы осуществляется оросительной водой, а по боковым новерхностям исследуемой области поступает вода с низкой минерализацией.

При расчете процесса массопереноса примем также, что в разделяющей толще малопроницаемый слой имеет разрывы (гидродинамические окна). Через эти окна может происходить более интенсивное неретекание сильно минерализованных вод из верхнего водоносного слоя в вижний.

Пространственную задачу массепереноса приближению можно разрешить при помощи дифференциального уравнения физико-химической гидродинамики

$$\frac{\partial}{\partial x} \left(D \frac{\partial C}{\partial x} \right) + \frac{\partial}{\partial y} \left(D \frac{\partial C}{\partial y} \right) + \frac{\partial}{\partial z} \left(D \frac{\partial C}{\partial z} \right) - \frac{\partial (v_1 C)}{\partial x} - \frac{\partial (v_2 C)}{\partial y} - \frac{\partial (v_2 C)}{\partial z} + \beta (C_n - C) = \mu \frac{\partial C}{\partial t} \tag{1}$$

при следующих начальных и граничных условиях.

$$t = 0 - C(x, y, z, t) = C_{\alpha}(x, y, z, 0);$$
 (2)

$$t > 0$$
 $z = 0$ $C(x, y, z, t) = C^{0}(x, y, 0, t);$ (3)

$$z = T$$
, $\frac{\partial G}{\partial z} = 0$; (4)

$$C(x, y, z, t) = C_u(x, y, z, t).$$

(5)

Расположение осей координат показано на рис. 1.

Компоненты скоростей фильтрации v_x , v_y и v_4 определяются из общеизвестных дифференциальных уравиений при соответствующих начальных и граничных условиях. Решение этой задачи методом математического моделирования изложено в работах [1; 2].

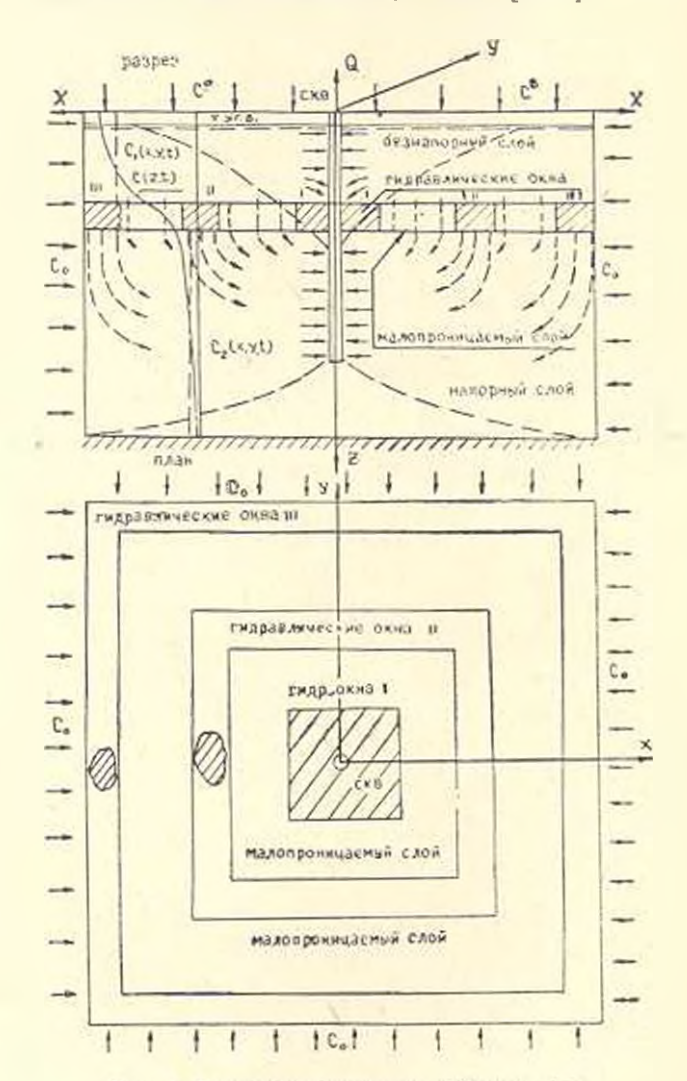


Рис. 1. Гидрогеологическая схема расчета,

Коэффициенты конвективной диффузии D принимаем пропоринональными изменяющимся скоростям фильтрации. Значения коэффициента скорости растворония (β) активной пористости грунта (μ) и предельного насыщения концентрации (C_{ij}) определяются опытным путем.

При решении задачи все величины по г (по высоте) будем осреднять. Поэтому в дальнейшем будем некать изменения на плоскости ху осредненных значений минерализации подземных вод, сохраняя при этом существующие гидравлические связи по нертикали между соответствующими водоносными слоями.

Для простоты решения задачи осреднение C(x, y, z) по вертикали будем производить для верхией безнапорной и нижней слабонапорной зон в отдельности, сохраняя при этом условие непрерывности процессов фильтрации и массопереноса через малопроницаемый слой.

В настоящей работе по изложенной в [2; 3] методике реализуем решение одной частной задачи применительно к рассоляющему действию вертикального дренажа (рис. 1).

На рис. 1 представлены схемы всех трех вариантов решения одной и той же задачи. Эти варианты отличаются друг от друга местоположением и размерами гидродинамических окон. В указанных зонах гидравлические связи между двумя водоносными слоями ослаблены (т. е. сопротивления уменьшены) по сравнению с зонами, где сплошность малопроницаемого слоя не нарушена.

Поставленная нами задача решается для каждого варианта в отдельности при следующих исходных данных.

Поля скоростей фильтрации v_x и v_y вызванные работой вертикального дренажа, представлены на рис. 2. Вертикальные скорости фильтрации в зоне гидравлических окон приняты равными v_z = 0,02 м/сут, а в зоне малопроницаемого слоя 0,002 м/сут. Размеры гидродинамических окон и область исследования показаны на рис. 1.

Начальное значение манерализации грунтовых вод в верхнем водоносном слое в зоне расположения гидродинамических окон принято $C_0 = 8,3$ г/л. а в зоне малопроницаемого слоя -13,5 г/л. В нижнем слабонапорном водоносном слое осредненное по вертикали значение минерализации грунтовых вод во всех точках принято $C_0 = 1,5$ г/л. Концентрация груптовых вод на поверхности почвы на боковых границах принята $C^0 = 1,5$ г/л., на нижном водоупоре поставлены граничные условия второго рода. г. е. $\partial C/\partial z = 0$.

Результаты решения задачи представлены в таблицах $1 \div 6$. В табл. 1 представлены (вариант с центральным расположением гидродинамических окон I, рис. I) изменения концентрации груптовых воя в верхнем и нижнем водоносных слоях после t = 30 сут с учетом г без учета в дифференциальном уравнения (I) члена $\Re (C_0 - C)$, учитивающего процессы растворения при промывках.

При решении этой задачи мы стремились на одном частном примере показать влияние члена $\mathfrak{P}(C_n-C)$ в уравнении (1) на пронессы массопореноса.

Как видно из данных табл. 1. при учете члена $\beta(C_n-C)$ после первого шата по времени ($\beta\!=\!30\ cyt$) концентрация грунтовых вод и верхнем водоносном слое повышается (различно в различных зонах фильтрации) по сравнению с начальной концентрацией. Без учета этого

Верхний слой

9 840	0.44			0.18						17,46
17,5	857	255	0,48	0.2	200	0.27	0,46	0.55	0.57	0.55
0,67	0,13	0.0	0,0	0.46	0.0 =	0.6	0.70	0,76	0,73	0.67
				0.2						
0.88	801	80.68	7.83	230	4.58	230	C 500	1,380	90%	0.88
8.92	(15	1.53	2,29	4,58	⊙, ck8	4,58	229	151	1,15	0,92
0.88	108	138	1.83	2,30 %	0.0	2,30	1,83	1,38	1,08 8	0,88
				0.92						
0,67	0.73	0.0	0.70	0.46	0,0	0.46	0.70	0.75	0	0,67
0.55	0,57	0.55	0.00	0,27	0.0	027	0.46	0. 5	0,57	25
046	0,44	241	0,31	0 18	0.0	0,13	0.31	0.41	0,44	045

Нижний слой

			_								
	2.76	2.64	2.64	1.86	5.28	5.52	1.08	1864	2.46	2.64	2.76
	3,30°	3.42	3,30	2.76	1.62 6	0.0	1,62	2,76	3,30	3,42	3,30
	4.02	4.38	456	4.20	2.76	0.0 Si	2.76	4.20	4.56	4.38	4.02
	4.74	5.52	6.36	6.90	5,52	0.0	5,52	6 90	6.35	5,52%	4.74
	5,28	6.48	276	11.0	13.8	0.0	13.8	11.0	8.28	6.48	5,28
	0	6.90	9.18	13.7	27.5	0,	27.5	13.7	918	6,90	5,52
Ì	5.28	6.48	8,28	11,0	13.8	0,0	13,8	25.5	8.28	6,48	5,28
	4.74	5,52	6.36	6,90	~	0.0	5,52	6,91)	6,38	5,52	4.74
	4.02 ^N	638	4,56	4,20	2,76%	0.08	2,76 %	4,200	4,56	4,38	
	· 30°4	3,42	Berg.	2,76	60	0,00	1.62	2,76	330	3.42	3,30
	2.76	2	54			0.0 %		1,864	24	59	2,76

Рис. 2. Поле екоростей v₁ и v₂ (в 10³ м'сум).

члена, т. е. без учета дополнительного источника солеобразования в почве, при промывке концентрация грунтовых вод уменьшается сразу же после первого шага по времени по сравениию с начальной копцентрацией.

В таблицах 2 и 3 приведены значения $C_1(x, y, t)$ и $C_1(x, y, t)$ через 1=270 и 990 суток. При этом учтено, что источники солеобразования действуют в верхнем водоносном слое в течение 30 суток. В остальное время их действие прекращается при непрерывной схеме прочыжки.

Таблица 1

Минерализация пода миых вод (1 30 сут) Нижний слой: Верхинй слои"

,		_						
1.5	1,5	1,5	1,5	1,5	1.5	1,5	1.5	1,5
1.5	12,7	2,7	12,7	12,7	12,7	12,7	12,7	1.5
1,5	27	12,7	12,7	12,7	12,7	12,7	12,7	1,5
1.5	12,7	12,7	5,7	5.7	5.7	12.7	12,7	1.5
1,5	12,7	12,7	5,7	5,7	5.7	12.7	12.7	1.5
1,5	12.7	12,7	5,7	5,7	5.7	12.7	12.7	1.5
1,5	1.27	1.27	1.27	1,27	127	1.27	127	1.5
1,5	127	127	127	1.27	1,22	1.28	1.27	1,5
1,5	1.5	1.5	1.5	1.5	1.5	1.5	1.5	1.5

1.5	1.5	1.5	1,5	1,5	1,5	1,5	1.5	45
1,5	1.6	1,6	1,6	1,6	1,6	1.6	1.6	1.5
1.5	1.6	1,6	1.6	1.6	1.6	1.6	1.6	1.5
1.5	1.6	1,6	1,85	1,85	1,85	1.6	1.0	1.5
1,5	1,6	1,6	1,85	185	185	1.6	1.6	1.5
1.5	1.6	1,6	1.85	185	1.85	1,6	1.6	1.5
1.5	1.6	1.6	1.6	1.6	1.6	1.6	1,6	1.5
1.5	1.6	1.6	16	1.6	16	1.6	16	1.5
1.5	1.5	1.5	1,5	1.5	1.5	1.5	1.5	1.5

Be	PXI	HH	CAG	DH.	

15	1,5	1,5	1.5	1.5	1,5	1,5	1.5	1.5
1.5	164	16.4	13.4	16,4	16,4	16,4	16,4	1,5
				16.4				
1,5	14.4	16.4	11,5	11,5	11,5	16,4	16,4	1.5
				11.5				1
1.5	16.4	16.4	11.5	11,5	11,5	16,4	16.4	1,5
				16,4				
1,5	14.4	16.4	16.4	16.4	16.4	16.4	16.4	1.5
1.5	1.5	1.5	1.5	1.5	1,5	1.5	1.5	1.5

Нижний слой**

1.5	1.5	1.5	1.5	1.5	1.5	1,5	1,6	1,5
1,5	1.8	1.8	1.8	1.8	1.8	1.8	1.8	1.5
1.5	1.8	1.8	1.8	1.8	1.8	1.8	1.8	1.5
1.5	1.8	1,8	2.4	2.4	2.4	1,8	1,8	1,5
1,5	1,8	1,8	2.4	2.4	2.4	1.8	1.8	1.5
1.5	1.8	1.8	2.4	2.4	2.4	1,8	6.8	1.5
1,5	1.8	1.8	1,8	1.8	1.8	1.8	1.8	1.5
1.5	1.8	1.8	1.8	1.2	1.8	1.8	18	1.5
1.5	1.5	1.5	1.5	1,5	1,5	1,5	1.5	1,5

[•] Без учета члена $\beta(C_0 - C)$

[&]quot; C yeerom чисна $\beta(C_n-C)$.

Габлица 2

Миперализация подземных под (t 270 сут)

Верхнии слой

Нижини слов

15	15	1.5	1.5	1.5	15	1.5	1.5	1.5
15	10.3	11.1	111	10.3	11.1	11.1	10.8	1.5
1.5	11,1	111	11.1	11.5	11.1	11.1	11.1	1.5
1.5	111	11,1	2.7	2.5	27	11.1	11.1	1.5
1.5	10,8	11,5	2.5	2,1	2,5	11.5	10,8	1.5
15	15.1	11.1	2,7	2,5	2,7	11,1	11.1	1.5
1,5	11,1	11.1	11,1	11,5	11.1	11,1	111.	1,5
15	10.2	11.1	11.1	95.5	11.1	11.1	108	1,5
	1,5							

	_						
1,5	1.5	1.5	1.5	1.5	1.5	15	45
3.7	3,2	32	3,2	3.2	3,2	3,7	1,5
3.2	2.9	2.9	2.9	2,9	2,9	3,2	1,5
3.2	2,9	3,4	2,65	3,4	2,3	3,2	1,5
3 2	2.9	2,65	3,5	2,65	2,9	3,2	1,5
3.2	2.9	3,6	2.65	3.4	2.9	3,2	1.5
3,2	2.9	2,9	2.9	2.9	29	3,2	1,5
3,7	3,2	3,2	3,2	3,2	3,2	3,7	1,5
1.5	1.5	1.5	1.5	1.5	1.5	15	1.5
	3.7 3.2 3.2 3.2 3.2 3.2 3.2	3.7 3.2 3.2 2.9 3.2 2.9 3.2 2.9 3.2 2.9 3.2 2.9 3.7 3.2	3.7 3.2 3.2 3.2 2.9 2.9 3.2 2.9 3.65 3.2 2.9 3.65 3.2 2.9 2.9 3.7 3.2 3.2	3.7 3.2 3.2 3.2 3.2 2.9 2.9 2.9 3.2 2.9 2.65 3.2 2.9 2.65 3.5 3.2 2.9 2.65 2.65 3.2 2.9 2.9 2.9 3.7 3.2 3.2 3.2	3.7 3.2 3.2 3.2 3.2 3.2 2.9 2.9 2.9 2,9 3.2 2,9 2,65 3,5 2,45 3.2 2.9 2,65 3.5 2,45 3.2 2.9 2,65 3.4 3.2 2.9 2,9 2.9 2.9 3.7 3,2 3,2 3,2 3,2	3.7 3.2 3.2 3.2 3.2 3.2 3.2 2.9 2.9 2.9 2.9 2.9 3.2 2.9 2.65 3.4 2.9 3.2 2.9 2.65 3.5 2.45 2.9 3.2 2.9 2.65 3.4 2.9 3.2 2.9 2.9 2.9 2.9 2.9 3.7 3.2 3.2 3.2 3.2 3.2	1.5 1.5

Из приведенных в табл. 2 данных видно, что минерализация груятовых вод в предслах гидродинамических окон в верхней зоне с начального значения 8,3 г/л достигает 2,1—2,7 г/л в течение 270 суток, а на нижием водоносном слое за это же время начальная минерализация С с 1,5 г/л повышается и достигает 2,9—3,7 г/л.

На остальных участках, где сплошность малопроницаемого слоя не нарушена, т. е. гидравлическая связь между водоносными слоями не ослаблена, минерализация верхнего водоносного слоя уменьшается медленно. При этом медленно повышается минерализация нижнего водоносного слоя. Только через 990 суток (табл. 3) после непрерывной промывки минерализация грунтовых вод на большей части плоскости массопереноса достигает 2—3.5 г/л.

Медленный теми уменьшения манерализации грунтовых вод вдали от вортикального дренажа объясняется не только влиянием местоположения гидродинамических окон но и влиянием малых скоростей фильтрации на периферийные участки, воронки (кривой) депрессии.

При прочих аналогичных условиях так же расчеты были вынолпены при других схемах расположения гидродинамических окон В таблицах 4 и 5 приведены результаты расчета при расположения гидродинамических окон на среднем участке воронки депрессии (рис. 1).

Из данных табл. 5 видно, что после 240 суток непрерывной промывки минерализация груптовых вод в верхнем слое, в зоне гидродинамических окон, умельшается и достигает 2—2,2 г/л. Минерализацыя грунтовых вод в верхнем и нижнем водоносных слоях на большей части плоскости массопереноса достигает 2,5—3,9 г/л (табл. 6) в течение 720 суток.

Таблица 3

Минерализация подземных вод (t 990 сум)
Верхний слой Нижний слой

15	1.5	1.5	1.5	1.5	1.5	1.5	1.5	1.5
1.5	1.65	2.05	2,05	1.6	2,05	2 05	1.65	1.5
1.5	2.05	3.65	3.0	3,0	3.0	3.65	2.05	1.5
15	205	3.0	1.9	2.4	1.9	3,0	2.05	1.5
1.5	1.6	3.0	2.4	1.8	2,4	30	1.6	1.5
1.5	2.05	3.0	1.9	2.4	1.9	3.0	2,05	1.5
1.5	2.05	3.65	3,0	30	3.0	3.65	2,05	1.5
1.5	1.65	205	2.05	1.6	2 05	2.05	1.65	1.5
15	1.5	1,5	1.5	1.5	1.5	1.5	1.5	1.5

1.5	1,5	1.5	1,5	1,5	1,5	1.5	1,5	1,5
1.5	2,0	2,5	2,5	2,3	2,5	2,5	2,0	1,5
1,5	2,5	3,5	3,9	3,9	3,9	3,5	2,5	1,5
		3,9						1
1,5	2,3	3.9	4,3	2,7	4,3	3,9	2,3	1,5
1,5	2,5	3,9	2,8	4,3	2,8	3, 9	2,5	1,5
1,5	2,5	3,5	3,9	3,9	3,9	3,5	2,5	1,5
1,5	2,0	2.5	2,5	2,3	2,5	2,5	2,0	1.5
1,5	1.5	1.5	1.5	1.5	1,5	1.5	1,5	1,5

Taблица = Mниерализация подземных вод $(t-30\ cym)$ с учетом $S(C_R-C)$ Верхний слой Taблица = Taблица

i	1.5	1.5	1.5	1.5	1,5	4.5	45	15	15
ı	45	18.5	16.5	16.5	16.5	18.5	16.5	16.5	1.5
i	1.5	165	127	12.7	12.7	127	17.8	14.5	1,5
	15	45	127	45	16.5	16.5	127	16.5	1.5
l	1,5	13.5	127	11.5	165	16 5	12,7	16.5	1.5
l	15	16 5	127	16.5	10.5	14.5	127	16,5	1.5
	15	8.5	2	127	12.7	12.5	12.2	16,5	1.5
	45	16.5	16.5	15.5	16.5	16,5	18.5	16.5	1.5
-	1.5	1.5	1.5	1,5	1.5	1,5	1.5	1.5	1.5

1	1.5	1.5	1.5	1.5	1.5	1.5	1.5	1.5	25			
İ	1.5	2.0	2.0	1,0	20	2.0	2.0	20	1.5			
	-	_	2.5									
		_	2.5									
	1.5	2.0	2.5	2.0	2.0	2.0	2.5	2.0	1.5			
		_	2.5									
	1.5	20	2.5	2,5	2.5	2.5	2.5	2.0	15			
	1.5	2.0	2,0	2.0	2.0	20	2.0	20	1.5			
	45	1.5	1.5	1.5	1.5	1.5	1.5	1.5	1.5			

Аналогичные расчеты были выполнены в случае расположения гидродинамических окои на периферийных участках воронки депресоич.

Из изложенного видно, что методом математического моделирования можно определить рассоляющее действие вертикального дренажа с учетом алияния неоднородности груптов на массоперсносные процессы.

Таблица 5

Минерализация подземных вод (1—240 сут) Верхинй слоя Нижний слой

		1		1.5	ę.		,	•
1.5	10.7	11,0	11.0	11.0	11.0	11.0	10.7	1.5
45	11,0	20	2.2	22	2.2	20	11.0	1,5
1.5	11.0	2,2	:0.7	10.3	10,7	2.2	11.0	1.5
		1		11.9				-
1.5	11.0	22	12.7	10.3	10.7	2.2	11.0	1.5
1.5	11.0	2.0	2,2	2,2	2,2	2.0	11.0	1.5
1.5	16.7	11.0	11.0	11.0	11.0	11.0	10,2	1.5
1.5	1.5	1.5	1.5	1.5	1.5	1.5	1.5	1.5

1.5	1.5	1.5	1.5	1.5	1.5	1.5	1.5	1.5
1.5	3.7	3.7	3.7	9,7	3,7	3,7	3,7	1.5
1.5	3,7	3.2	3,2	32	9.2	3,2	3.7	15
1.5	3.7	3.2	4.1	4.5	4.1	3.2	3,7	1.5
1.5	3.7	3.2	4.5	3,2	4.5	3.2	2,7	1,5
1.5	3,7	3,2	4.1	4.5	4,1	3.2	37	1,5
1.5	3.7	3,2	3,2	3.2	3.2	3,2	3.7	1.5
1.5	3.7	3,2	3,7	3,7	3.7	3,7	3.7	1.5
1.5	1.5	1.5	1.5	1.5	1.5	1.5	1.5	1.5

Таблица б

Минерализация подземных вод (t = 720 суm) Верхний слой Нижний слой

1.5	1,5	1.5	1,5	1.5	1.5	1.5	1.5	1.5
1.5	2.5	2.5	2,5	2.5	2.5	2.5	2.5	1.5
1,5	2.5	1.5	1.5	1.5	1.5	1.5	2.5	1.5
						1.5		
1.5	2,5	1.5	2,0	5.2	20	1.5	25	1.5
1.5	25	1.5	2.4	20	2.4	1.5	2.5	1.5
1.5	2.5	1.5	1.5	1.5	1.5	1.5	2,5	1,5
1.5	2,5	2.5	2.5	2.5	2,5	2.5	2.5	1.5
1.5	1.5	1.5	1.5	1.5	1.5	1.5	1.5	1.5

1.5	1.5	1,5	1.5	1,5	1.5	1.5	1.5	1.5
1.5	3,5	3.9	3.9	3.9	3,9	3,9	3,5	1.5
1,5	3,9	2.3	23	2.3	23	2,3	3,9	1.5
1.5	3,9	2.3	1,4	3,0	3,4	2,3	3,9	1,5
1.5	39	2,5	3,0	3,4	3,0	2,3	9,9	1,5
1.5	3,9	2.3	3,4	3,0	3,4	2.3	3,9	1,5
1.5	3,9	2,3	2.3	2.2	2, 3	2.3	3,9	1.5
1.5	3,5	3.9	3, 9	3.9	3.5	9,9	3.5	1.5
1.5	1.5	1.5	1.5	1.5	1,5	1.5	1.5	15

ЕрПИ им. К. Макса

Поступило 16.V.1977

ս, և ևեսենսե

ՄԱՍՍԱՏԵՂԱՓՈԽՄԱՆ ՏԱՐԱԾԱԿԱՆ ԽՆԳԻՐՆԵՐԻ ԼՈՒԾՄԱՆ ՄԻ ՔԱՆԻ ԱՐԴՅՈՒՆՔՆԵՐԻ ՄԱՍԻՆ

Udhnhaid

Հոդվածում բերված են մաթեմատիկական մոդնլացման մեթեոդներով (անալոգային մեջենաների օգնությամբ) մասսատեղափոխման խնդիրների լուժման արդյունքները։ Շարադրված են ուղղաձիդ Հորերի աշխատանքների պայմաններում աղային լուծույթների շարժման օրինաչափությունները հրկդերտ ֆիլտրացման միջավայրում։

ЛИТЕРАТУРА

- 1. Ананян А. К. Дреняж пря освоения содовых солончаков. Изд. «Колос», М., 1972.
- 2. Ананян С. А., Ананян А. К. Методика расчета планово пространственной задачи нассопереноса методом математического моделирования. Известия АН АрмССР (серия техя. наук.)». т. XXX, № 5, 1977.
- **3.** Николаев Н. С., Козлов Э. С., Полгородник Н. П., Аналоговая математическая машина УСМ-1, Изд-во Маш. л-ры. М., 1962.